

### III-22 乱さない砂質土のせん断特性について

大阪市立大学 工学部 正員 柳 大夏

#### 1. まえおき

この実験は砂質土の場合、軽理したおちる構造の様式が力学的性質、特にせん断特性におよぼす影響を調べてみるに試料を用いて調べておいたものである。

一般に土の力学的性質は三並み定義していろいろの要素によつて支配されている。

$$\text{土の力学的性質} = F(\text{土の種類, 密度, 含水比, 構造の様式}) \quad \dots (1)$$

ところでこれらの要素のうち構造の様式を論じるものについては力学的性質とのあいだにかなりのところまで明らかになっておる。しかし構造の様式については、特に砂質土の場合には粘土に較べて得られにくいので、なおざりにされがちである。テルツァギーはN値と相対密度Drのあいだには一つの関連性があると述べておるが、これなどはその古い例ではあるが、砂質土ではよく乱した状態のものを用いるが、作製方法によつては構造の様式の違いを生じることが三並みによつて指摘してある。ところが砂質土の場合であつては構造の様式というものは絶対に軽理する重要な要素であるべきを認識しおけるべきである。

#### 2. 試料および試験の内容

試料はよく使用されている豊浦砂の粒度分布にほぼ近い大阪チユウ積砂層の切り出し試料を用いた。その粒度分布曲線を図-1に示す。

大阪平野にたい積するチユウ積砂層の鉱物組成は粗粒分は石英が大部分を占めておるが、細粒分は粘土片の含有が増してくる。そのために扁平な薄片状の粒子が多く含まれる傾向があるので力学的性質の異性を有していると推定される。したがつてせん断方向を図-2に示すように成層方向に水平(一般に行なわれているもの)、垂直、すなわち45°の3方向とし、これをH、V、45°の記号をもちて以下に示す。

せん断は一面せん断試験による圧縮等圧せん断とした。試験機は改良型一面せん断試験機を用いて、せん断速度は応力増加速度  $0.2 \text{ kg/cm}^2/\text{min}$ 、水平変位速度  $0.5 \text{ mm/min}$  を基準とした。供試体はすべて飽和状態とし、同一状態のものは  $e_{min}$  の試験と同じような方法の水締めによつた。

#### 3. 試験結果と考察

図-3は各試料の自然含水比  $e$  と  $e_{min}$ 、 $e_{max}$  の値を示したものである。この値のうち湿潤の状態のものは次の方法によつて求めた。  $e_{max}$  は粒度分析と同じようなメスユリシリンダーで豊浦状態とし水中沈澱によつて得られる状態とした。  $e_{min}$  は水締めの方法によつたものであるが、締固めによつ

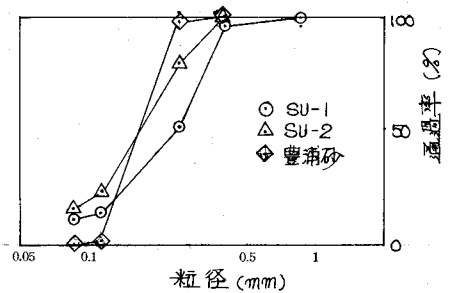


図-1. 粒度分布曲線

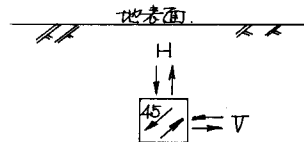
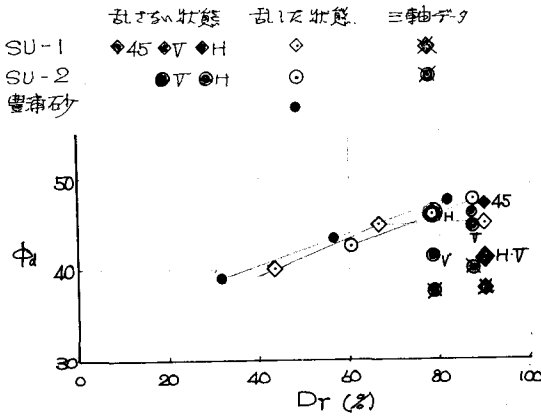


図-2. せん断方向

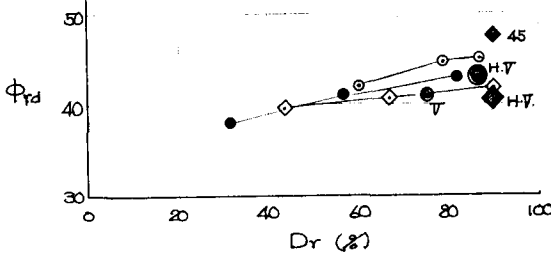
て分離されて出る過剰水を低い圧力の真空ポンプで吸引し、常に過剰水が残りながら土を締め固めて得られた状態のものとした。

図-4は各試料の試験結果による $\tau_f$ - $\sigma$ の曲線を示したものであるが乱れた状態のものは乱れた状態に較べて粘着力が大きく出ている。乱れた状態のものは応力の高いところでは $\phi$ が大きく出ている傾向にあった。圧空排水セン断による三軸試験データを記入した。

図-5は図-4より求められたセン断傾角 $\phi_d$ 、乱れた状態のものは $e$ を変えて求めた $\phi_d$ と相対密度 $D_r$ の関係を示したものである。



(a) ダイレクشن効果を除くもの



(b) ダイレクشن効果を除くもの

図-5  $\phi_d, \phi_{rd} \sim D_r$  の関係

図-5(a)において $\phi_d$ は乱れた状態のものでは $D_r$ に対して直線的に増加していき、乱れた状態のものは $D_r$ と同じであって $e$ も方向性によって異なっている。

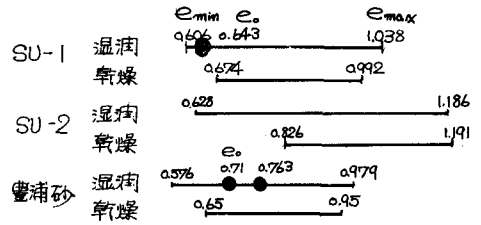


図-3 各試料の $e_0, e_{min}, e_{max}$

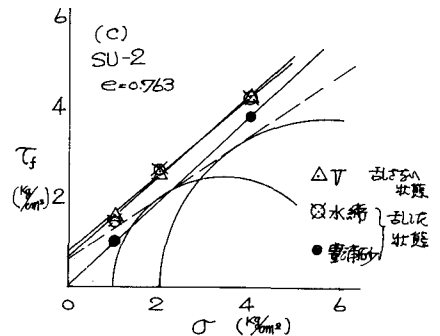
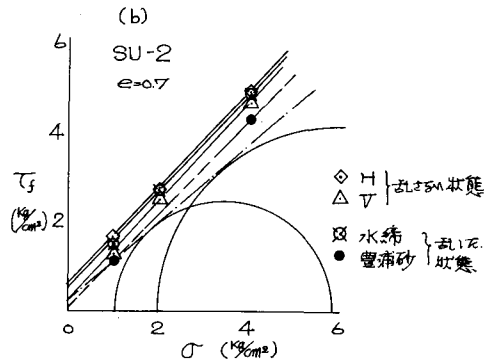
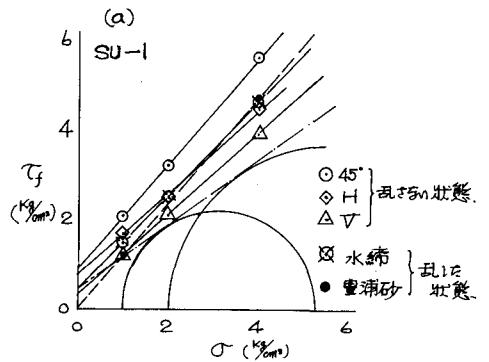


図-4  $\sigma \sim \tau_f$

これらが一致していることは土の力学的性質は密度のみによって一義的に決められる要素があることを意味する。すなわち式(1)により構造の様式の違いが大きく影響しているものと考えらるべきであろう。図-5(b)の中心はダイレイタンシー効果を取り除いたせん断抗角でDrの関数として良い相関性を得られる。

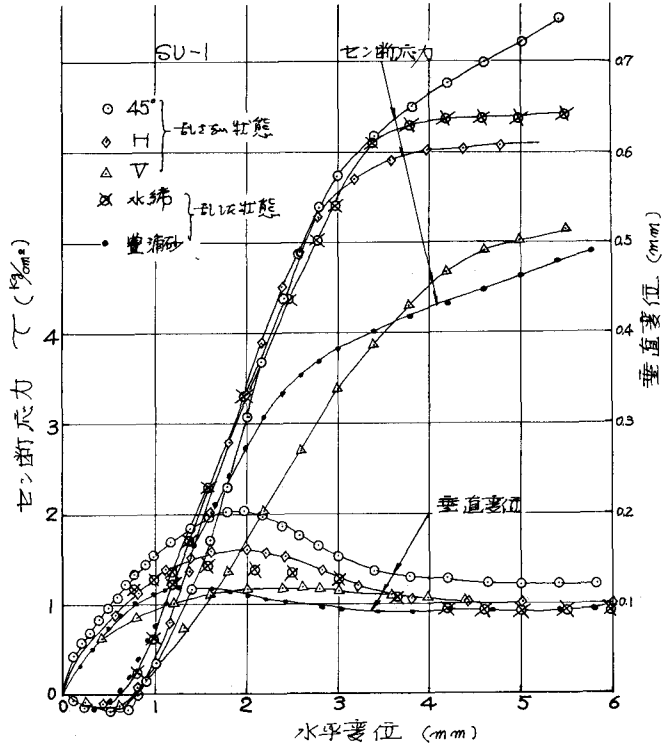
図-6は試料SU-1の垂直荷重1, 4%のせん断過程である。これを見るにせん断応力の変化は乱れた状態のものに比べて、ピークのよりゆるやかなで垂直荷重の違ってもこの傾向は変わっていない。一方、供試体の垂直変位は0の違いによって顕著な違いがみられる。

ピーク時のダイレイタンシー指数  $(\frac{dV}{ds})_f$  と垂直荷重  $\sigma$  の関係を図-7に示す。

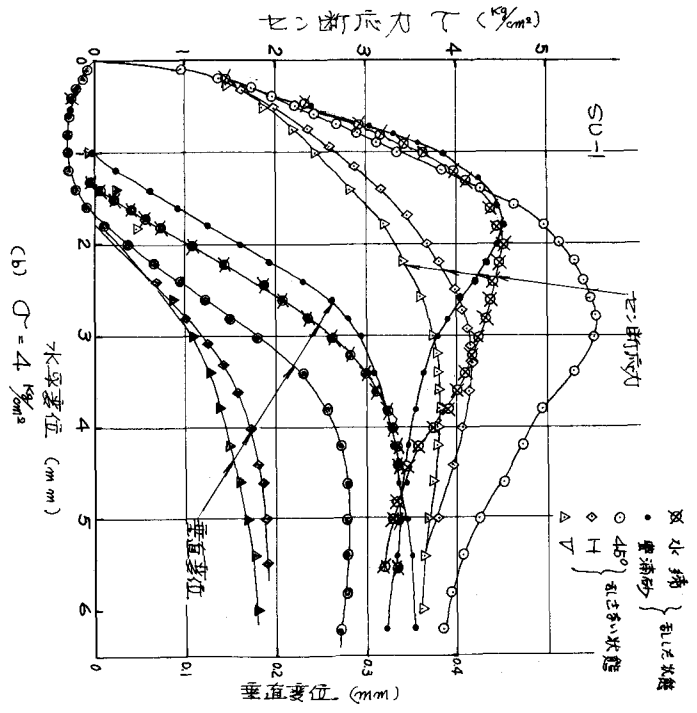
$(\frac{dV}{ds})_f \sim \sigma$  曲線のコー配は乱れた状態のものは豊浦砂を含めて、ゆるやかなで対して、乱れた状態のものはコー配は急で  $\sigma$  の低い部分では許すようである。

これは図-4(a)と対比すると  $\sigma$  の低い部分では乱れた状態のものは粘着力が大きくでいて、ダイレイタンシーに大きく寄与するからである。

一方乱れた状態のものは粘着力というものを失っているため大きく変って



(a)  $\sigma = 1 \text{ kg/cm}^2$



(b)  $\sigma = 4 \text{ kg/cm}^2$

図-6 セン断過程

